

# Teoria de Controle: Projeto via abordagem Polinomial

Docentes: Luís & Valter

Departamento de Engenharia Mecatrônica / CEFET-MG

20 de agosto de 2020

# Motivação (I)

Considere um sistema cuja função de transferência é dada por  $G(s)$  e um controlador  $C(s)$ :

$$G(s) = \frac{B(s)}{A(s)} \quad C(s) = \frac{\beta(s)}{\alpha(s)}.$$

O objetivo é projetar o controlador  $C(s)$  de forma a assegurar a estabilidade da malha fechada:

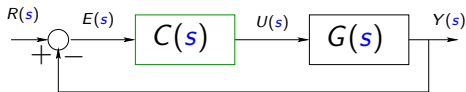


Figura: Malha de controle 1: controle série.

## Motivação (II)

Neste caso, a malha fechada é dada por

$$G_{MF} = \frac{C(s)G(s)}{1 + C(s)G(s)} = \frac{\frac{\beta(s)}{\alpha(s)} \frac{B(s)}{A(s)}}{1 + \frac{\beta(s)}{\alpha(s)} \frac{B(s)}{A(s)}},$$

que após simplificar resulta em:

$$G_{MF} = \frac{\beta(s)B(s)}{\alpha(s)A(s) + \beta(s)B(s)}$$

- A dinâmica da malha fechada pode ser especificada por um polinômio  $D(s)$  tal que

$$D(s) = \alpha(s)A(s) + \beta(s)B(s), \text{ (identidade Diofantina)} \quad (1)$$

em  $\alpha(s)$  e  $\beta(s)$  precisam ser determinados.

## Motivação (III)

Note que se o controlador é colocado na realimentação:

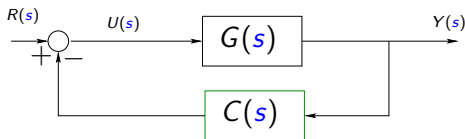


Figura: Malha de controle 2: controle na realimentação.

A malha fechada é dada por:

$$G_{MF} = \frac{\alpha(s)B(s)}{\alpha(s)A(s) + \beta(s)B(s)} = D(s),$$

e os polos do controlador (raízes de  $\alpha(s)$ ) são zeros de  $G_{MF}(s)$ .

## Motivação (IV)

Como resolver:

$$D(s) = \alpha(s)A(s) + \beta(s)B(s), \text{ (identidade Diofantina)}$$

para obter:

$$C(s) = \frac{\beta(s)}{\alpha(s)}?$$

# Equação Diofantina (I)

Considere os polinômios  $A(s)$  e  $B(s)$  dados por

$$A(s) = s^n + a_1 s^{n-1} + \cdots + a_{n-1} s + a_n \quad (2)$$

$$B(s) = b_0 s^n + b_1 s^{n-1} + \cdots + b_{n-1} s + b_n \quad (3)$$

em que:

- $A(s)$  é mônico;
- $A(s)$  e  $B(s)$  são polinômios co-primos.

# Equação Diofantina (I)

Considere os polinômios  $A(s)$  e  $B(s)$  dados por

$$A(s) = s^n + a_1 s^{n-1} + \cdots + a_{n-1} s + a_n \quad (2)$$

$$B(s) = b_0 s^n + b_1 s^{n-1} + \cdots + b_{n-1} s + b_n \quad (3)$$

em que:

- $A(s)$  é mônico;
- $A(s)$  e  $B(s)$  são polinômios co-primos.

Seja  $D(s)$  um polinômio estável de grau  $\delta(D(s)) = (2n - 1)$ :

$$D(s) = d_0 s^{2n-1} + d_1 s^{2n-2} + \cdots + d_{2n-2} s + d_{2n-1}. \quad (4)$$

# Equação Diofantina (II)

## Unicidade de solução

Admitidas as características de  $A(s)$ ,  $B(s)$  e  $D(s)$  apresentadas anteriormente, a identidade

$$\alpha(s)A(s) + \beta(s)B(s) = D(s) \quad (5)$$

admita solução única com  $\alpha(s)$  e  $\beta(s)$  polinômios de grau  $(n-1)$  em que

$$\alpha(s) = \alpha_0 s^{n-1} + \alpha_1 s^{n-2} + \cdots + \alpha_{n-2} s + \alpha_{n-1} \quad (6)$$

$$\beta(s) = \beta_0 s^{n-1} + \beta_1 s^{n-2} + \cdots + \beta_{n-2} s + \beta_{n-1} \quad (7)$$



# Solução da Equação Diofantina (I)

Seja a matriz de Sylvester  $\mathbf{E}$  com dimensões  $2n \times 2n$  dada por:

$$\mathbf{E} = \begin{bmatrix} a_n & 0 & \cdots & 0 & b_n & 0 & \cdots & 0 \\ a_{n-1} & a_n & \cdots & 0 & b_{n-1} & b_n & \cdots & 0 \\ \vdots & a_{n-1} & \cdots & 0 & \vdots & b_{n-1} & \cdots & 0 \\ a_1 & \vdots & \ddots & \vdots & b_1 & \vdots & \ddots & \vdots \\ 1 & a_1 & \cdots & a_{n-1} & b_0 & b_1 & \cdots & b_{n-1} \\ 0 & 1 & \cdots & a_{n-2} & 0 & b_0 & \cdots & b_{n-2} \\ \vdots & \vdots & \ddots & \vdots & \vdots & \ddots & \cdots & 0 \\ 0 & 0 & \cdots & a_1 & 0 & 0 & \cdots & b_1 \\ 0 & 0 & \cdots & 1 & 0 & 0 & \cdots & b_0 \end{bmatrix} \quad (8)$$

## Solução da Equação Diofantina (II)

$$\left. \begin{array}{l} \alpha_0 s^{n-1} + \alpha_1 s^{n-2} + \cdots + \alpha_{n-2} s + \alpha_{n-1} \\ \quad \& \\ \beta_0 s^{n-1} + \beta_1 s^{n-2} + \cdots + \beta_{n-2} s + \beta_{n-1} \end{array} \right\} \Rightarrow \mathbf{M} = \begin{bmatrix} \alpha_{n-1} \\ \alpha_{n-2} \\ \vdots \\ \alpha_0 \\ \beta_{n-1} \\ \beta_{n-2} \\ \vdots \\ \beta_0 \end{bmatrix} \quad (9)$$

## Solução da Equação Diofantina (III)

Do polinômio  $D(s)$  define-se

$$d_0 s^{2n-1} + d_1 s^{2n-2} + \dots + d_{2n-2} s + d_{2n-1}$$

$$\Downarrow$$
$$\mathbf{D} = \begin{bmatrix} d_{2n-1} \\ d_{2n-2} \\ \vdots \\ d_1 \\ d_0 \end{bmatrix}, \quad (10)$$

## Solução da Equação Diofantina (III)

Do polinômio  $D(s)$  define-se

$$d_0 s^{2n-1} + d_1 s^{2n-2} + \dots + d_{2n-2} s + d_{2n-1}$$

$$\Downarrow$$

$$\mathbf{D} = \begin{bmatrix} d_{2n-1} \\ d_{2n-2} \\ \vdots \\ d_1 \\ d_0 \end{bmatrix}, \quad (10)$$

e assim, tem-se a solução dada por

$$\mathbf{M} = \mathbf{E}^{-1} \mathbf{D} \quad (11)$$

## Exemplo (I)

Seja

$$G(s) = \frac{B(s)}{A(s)} = \frac{s + 2}{s^2 + s + 0,5}$$

## Exemplo (I)

Seja

$$G(s) = \frac{B(s)}{A(s)} = \frac{s + 2}{s^2 + s + 0,5}$$

- $\delta(A(s)) = 2 \Rightarrow \delta(D(s)) = 3$ , ou seja,  
 $D(s) = d_0 s^3 + d_1 s^2 + d_2 s + d_3$ ;

# Exemplo (I)

Seja

$$G(s) = \frac{B(s)}{A(s)} = \frac{s + 2}{s^2 + s + 0,5}$$

- $\delta(A(s)) = 2 \Rightarrow \delta(D(s)) = 3$ , ou seja,

$$D(s) = d_0 s^3 + d_1 s^2 + d_2 s + d_3;$$

- Logo,  $\delta(\alpha(s)) = \delta(\beta(s)) = 1$  e, portanto,

$$\alpha(s) = \alpha_0 s + \alpha_1, \beta(s) = \beta_0 s + \beta_1 \Rightarrow C(s) = \frac{\beta(s)}{\alpha(s)}.$$

# Exemplo (I)

Seja

$$G(s) = \frac{B(s)}{A(s)} = \frac{s + 2}{s^2 + s + 0,5}$$

- $\delta(A(s)) = 2 \Rightarrow \delta(D(s)) = 3$ , ou seja,

$$D(s) = d_0 s^3 + d_1 s^2 + d_2 s + d_3;$$

- Logo,  $\delta(\alpha(s)) = \delta(\beta(s)) = 1$  e, portanto,

$$\alpha(s) = \alpha_0 s + \alpha_1, \beta(s) = \beta_0 s + \beta_1 \Rightarrow C(s) = \frac{\beta(s)}{\alpha(s)}.$$



## Exemplo (I)

Seja

$$G(s) = \frac{B(s)}{A(s)} = \frac{s + 2}{s^2 + s + 0,5}$$

- $\delta(A(s)) = 2 \Rightarrow \delta(D(s)) = 3$ , ou seja,  
 $D(s) = d_0 s^3 + d_1 s^2 + d_2 s + d_3$ ;
- Logo,  $\delta(\alpha(s)) = \delta(\beta(s)) = 1$  e, portanto,

$$\alpha(s) = \alpha_0 s + \alpha_1, \beta(s) = \beta_0 s + \beta_1 \Rightarrow C(s) = \frac{\beta(s)}{\alpha(s)}.$$

$$\mathbf{E} = \begin{bmatrix} 0,5 & 0 & 2 & 0 \\ 1 & 0,5 & 1 & 2 \\ 1 & 1 & 0 & 1 \\ 0 & 1 & 0 & 0 \end{bmatrix}, \mathbf{M} = \begin{bmatrix} \alpha_1 \\ \alpha_0 \\ \beta_1 \\ \beta_0 \end{bmatrix}, \mathbf{D} = \begin{bmatrix} d_3 \\ d_2 \\ d_1 \\ d_0 \end{bmatrix}$$

## Exemplo (II)

- É necessário especificar  $D(s)$ . Suponha que seja desejada uma malha fechada com tempo de acomodação de 5s e *overshoot*, %OS, de no máximo 15% e menor tempo de subida possível.

## Exemplo (II)

- É necessário especificar  $D(s)$ . Suponha que seja desejada uma malha fechada com tempo de acomodação de 5s e *overshoot*, %OS, de no máximo 15% e menor tempo de subida possível.

$$t_s = 5 \Rightarrow \zeta \omega_n = \frac{4}{5} = 0,8$$

$$\begin{aligned} \%OS &= e^{-\left(\frac{\zeta \pi}{\sqrt{1-\zeta^2}}\right)} \Rightarrow \\ \zeta &= \frac{-\ln \frac{\%OS}{100}}{\sqrt{\pi^2 + \ln^2 \frac{\%OS}{100}}} \\ &= \frac{-\ln 0,15}{\sqrt{\pi^2 + \ln^2 0,15}} \\ &= 0,5169; \text{ logo:} \\ \theta &= \arccos 0,5169 = 58,87^\circ. \end{aligned} \tag{12}$$

## Exemplo (III)

Assim,  $\tan \theta = \frac{\text{parte imaginária}}{0,8} = \tan 58,87 = 1,6560 \Rightarrow$   
parte imaginária  $= 1,656 \times 0,8 = 1,324$ .

## Exemplo (III)

Assim,  $\tan \theta = \frac{\text{parte imaginária}}{0,8} = \tan 58,87 = 1,6560 \Rightarrow$   
parte imaginária  $= 1,656 \times 0,8 = 1,324$ .

$$s_{1,2} = -0,8 \pm 1,324j$$

Terceiro polo:

## Exemplo (III)

Assim,  $\tan \theta = \frac{\text{parte imaginária}}{0,8} = \tan 58,87 = 1,6560 \Rightarrow$   
parte imaginária  $= 1,656 \times 0,8 = 1,324$ .

$$s_{1,2} = -0,8 \pm 1,324j$$

Terceiro polo:

Escolha pelo menos uma década abaixo, por exemplo  $s_3 = -8$ .

## Exemplo (III)

Assim,  $\tan \theta = \frac{\text{parte imaginária}}{0,8} = \tan 58,87 = 1,6560 \Rightarrow$   
parte imaginária  $= 1,656 \times 0,8 = 1,324$ .

$$s_{1,2} = -0,8 \pm 1,324j$$

Terceiro polo:

Escolha pelo menos uma década abaixo, por exemplo  $s_3 = -8$ .

$$\text{Assim, } D(s) = (s - s_1)(s - s_2)(s - s_3) = \\ (s + 0,8 + 1,324j)(s + 0,8 - 1,324j)(s + 8) = \dots$$

Veja comandos matlab no próximo slide.

## Exemplo (IV)

- No Matlab:

```
D = conv(conv([1 0.8+1.324i],[1 0.8-1.324i]),[1 8]) % Calcula D(s)
```

```
Dinv = fliplr(D)' % Empilha coeficientes D(s)
```

```
den = [1 1 0.5];
```

```
num = [0 1 2];
```

```
deninv = fliplr(den)';
```

```
numinv = fliplr(num)';
```

```
E = [[deninv; 0;] [0; deninv]];
```

```
E = [E [numinv; 0] [0; numinv]];
```



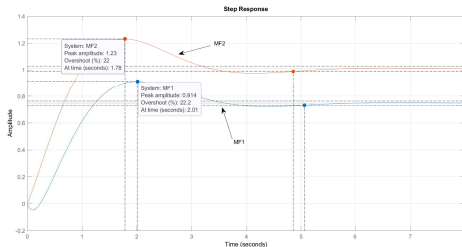
## Exemplo (V)

Resultados:

$$\mathbf{M} = \begin{bmatrix} \alpha_1 \\ \alpha_0 \\ \beta_1 \\ \beta_0 \end{bmatrix} = \begin{bmatrix} 9,6631 \\ 1,0000 \\ 7,1561 \\ -1,0631 \end{bmatrix} \Rightarrow \frac{-1,0631s + 7,1561}{s + 9,6631} = C(s)$$

## Exemplo (VI)

- Zeros de  $G_{MF}(s)$ :
  - 1 Controlador série: zeros em  $s_0 \in \{-2, 6,7314\}$
  - 2 Controlador na realimentação: zeros em  $s_0 \in \{-2, -9,6631\}$



**Figura:** Degrau unitário em  $G_{MF}(s)$  com controlador série (MF1) e na realimentação (MF2). Especificações:  $OS_{\%} = 15\%$  e  $t_s = 5s$ . Qual(is) o(s) problema(s)?

## Exemplo (VII)

- 1 Zero em  $-2$ , próximo do polo dominante  $(-0.8 \pm 1,324j)$ .
- 2 Zero de fase não mínima na configuração MF2.
- 3 Ganho de regime permanente não unitário.

## Exemplo (VII)

- ❶ Zero em  $-2$ , próximo do polo dominante  $(-0.8 \pm 1,324j)$ .
- ❷ Zero de fase não mínima na configuração MF2.
- ❸ Ganho de regime permanente não unitário.
- Pré-compensação na referência para o zero de fase mínima:  
 $C_p(s) = \frac{2}{s+2}$ ;
- Pré-compensação do ganho na referência:  $P = G_{MF}(0)^{-1}$ .

## Exemplo (VIII)

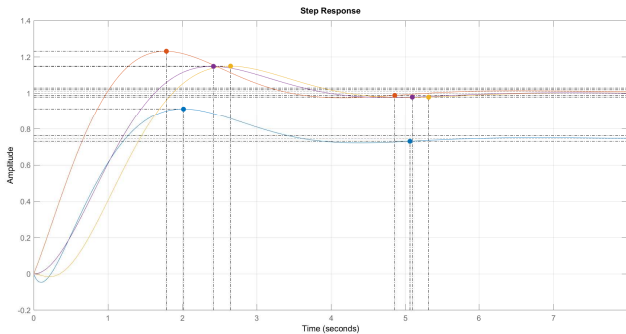


Figura: Sinais originais e sinais compensados.

## Exercícios

- Sejam  $A(s) = s^2 + s + 0,5$ ,  $B(s) = s + 2$  e  $D(s)$  tal que o sobressinal máximo seja limitado a 12%, tempo de acomodação limitado a 8s e menor tempo de subida possível. Analise as topologias de controle possíveis.
- Seja  $G(s) = \frac{5}{s-2}$  e  $D(s) = 2s + 1$ . Encontre  $\alpha(s)$  e  $\beta(s)$ .
- Seja  $G(s) = \frac{3(s+4)}{s^3+7s^2+11s-4}$ . Escolha um  $D(s)$  estável adequado e calcule  $\alpha(s)$  e  $\beta(s)$  correspondentes. Analise as topologias possíveis.
- Seja  $G(s) = \frac{5e^{-10s}}{40s+1}$  e projete um controlador que assegure  $t_s = 80s$  e seja criticamente amortecido.
- Calcule a constante de erro de posição em cada caso anterior.

## Um caso de maior dimensão

Seja

$$G(s) = \frac{s^2 + 1,2s + 4}{(s + 1)(s - 2)(s^2 + 1,4s + 1)},$$

que possui zeros em  $z_i = -0,6 \pm 1,9j$  e polos em  $p_i = -1, 2, -0,7 \pm 0,7j$ .

Deseja-se  $t_s \approx 2s$ ,  $\%OS < 5\%$  e menor tempo de subida possível.  
O que fazer?

# Síntese PID

## Controlador PID

Seja o controlador do tipo PID com equação dada por

$$C(s) = K \left( 1 + T_d s + \frac{1}{T_i s} \right) = \frac{\beta_0 s^2 + \beta_1 s + \beta_2}{s}$$

em que

$$\beta_0 = K T_d, \quad \beta_1 = K, \quad \beta_2 = \frac{K}{T_i}$$

usado para controlar um processo cujo modelo de 2ª ordem é:

$$G(s) = \frac{b_1 s + b_0}{s^2 + a_1 s + a_0}$$



# Síntese PID

## Problema de Síntese

Projetar  $\beta_2$ ,  $\beta_1$  e  $\beta_0$  para que a malha fechada tenha uma dinâmica dada por  $D(s)$

# Síntese PID

## Problema de Síntese

Projetar  $\beta_2$ ,  $\beta_1$  e  $\beta_0$  para que a malha fechada tenha uma dinâmica dada por  $D(s)$

Resolvendo a malha fechada:

$$G_{MF}(s) = \frac{C(s)G(s)}{1 + C(s)G(s)}$$

igual-se o denominador ao polinômio desejado:

$$D(s) = s^3 + d_2s^2 + d_1s + d_0$$

# Resultados

Após manipulações:

$$\begin{bmatrix} 0 & b_1 & (b_0 - b_1 d_2) \\ b_1 & b_0 & -b_1 d_1 \\ b_0 & 0 & -b_1 d_0 \end{bmatrix} \begin{bmatrix} \beta_2 \\ \beta_1 \\ \beta_0 \end{bmatrix} = \begin{bmatrix} d_2 - a_1 \\ d_1 - a_0 \\ d_0 \end{bmatrix}$$

# Resultados

$$K = \beta_1; \quad T_d = \frac{\beta_0}{K}; \quad T_i = \frac{K}{\beta_2}$$

## Resultados

$$K = \beta_1; \quad T_d = \frac{\beta_0}{K}; \quad T_i = \frac{K}{\beta_2}$$

### Exemplo 1:

Condisere o controle de velocidade por tensão de um motor CC, com

$$G(s) = \frac{\omega(s)}{E_a(s)} = \frac{1500}{s^2 + 50,1s + 275} \frac{\text{rpm}}{\text{V}}$$

Deseja-se malha fechada com erro nulo para o seguimento de referências constantes, rejeição a perturbações de carga,  $t_s < 1s$ ,  $\%OS < 10\%$ .